

# Projet Python MAP311 : Résolution de l'équation de Laplace par méthode de Monte Carlo

Sacha IZADI et Elior ILLOUZ

juin 2016

**Question 1** - Nous allons montrer que (1) admet au plus une solution, mais avant cela nous résolvons l'équation (1) pour  $f := 0$  et  $a, b$  quelconques.

- $u'' = 0 \iff \exists \alpha, \beta \in \mathbb{R} \text{ tq. } \forall x \in I, u(x) = \alpha x + \beta$

Les conditions aux bords,  $u(0) = a$ ,  $u(1) = b$ , conduisent à la solution :

$$u(x) = (b - a) \times x + a$$

- Montrons qu'il existe au plus une solution Soit  $u$  et  $v$  deux solutions de (1), alors :

$$\forall x \in I, u''(x) = f(x) = v''(x) \text{ i.e. } \forall x \in I, (u - v)''(x) = 0$$

$$\text{Et, } (u - v)''(0) = (u - v)''(1) = 0$$

D'après le résultat précédent,  $u - v$  est nulle sur  $I$ . Ainsi  $u = v$ .

**La solution de (1), si elle existe, est unique.**

- Enfin, (1) étant linéaire, ses solutions à  $f$  donné, sont de la forme  $u = u_H + u_{part}$  où  $u_H$  est la solution de l'équation homogène et  $u_{part}$  une solution particulière de (1). Cherchons  $u_p(x)$  sous la forme  $u_p(x) = A \sin(2\pi x + \phi)$ . Nous obtenons  $u_p(x) = -\frac{1}{4\pi^2} \sin(2\pi x)$   
Ainsi,  $u(x) = \alpha x + \beta - \frac{1}{4\pi^2} \sin(2\pi x)$ . Les conditions aux bords  $u(0) = u(1) = 0$ , conduisent in fine à :

$$u(x) = -\frac{1}{4\pi^2} \sin(2\pi x)$$

**Question 2** - Comme  $u$  est de classe  $C^4$ , nous appliquons la formule de Taylor-Young à l'ordre 3, ce qui donne : Pour tous  $x, h \in I \times \mathbb{R}$ , tels que  $x \pm h \in I$

$$u(x \pm h) = u(x) \pm h.u'(x) + \frac{h^2}{2}.u''(x) \pm \frac{h^3}{6}.u'''(x) + O(h^4)$$

D'où :

$$\begin{aligned} u(x - h) - 2u(x) + u(x + h) &\underset{h \rightarrow 0}{=} u(x) - u(x) + h.u'(x) - h.u'(x) + \frac{h^2}{2}.u''(x) + \frac{h^2}{2}.u''(x) \\ &\quad + \frac{h^3}{6}.u'''(x) - \frac{h^3}{6}.u'''(x) + O(h^4) \end{aligned}$$

Finalement on obtient le résultat attendu :

$$u''(x) \underset{h \rightarrow 0}{=} \frac{u(x - h) - 2u(x) + u(x + h)}{h^2} + O(h^2)$$

**Question 3** - Nous avons simulé cinq trajectoires  $\{X_0, X_1, \dots, X_{T^x}\}$ , pour  $h = 5.10^{-2}$  et  $x = 0, 5$ .

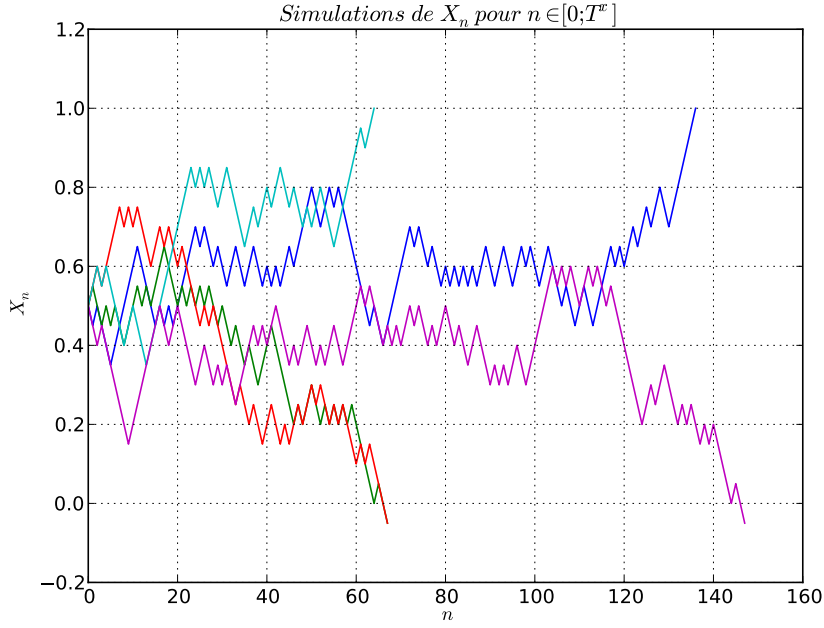


FIGURE 1 – Simulation de trajectoires

Comme le montrent ces courbes, la durée de simulation  $T^x$  est aléatoire. En outre, partant de la position initiale  $X_0 = x = 0.5$ , il y a environ autant de trajectoires se terminant en  $X_{T^{0.5}} = 0$  qu'en  $X_{T^{0.5}} = 1$ , ce qui est logique puisque ces deux positions d'arrêt sont symétriques par rapport à la position initiale. Enfin après avoir réalisé plus de 1000 simulations, nous n'avons jamais observé l'évènement  $[T^{0.5} = \infty]$  (et donc le programme a toujours terminé), ce qui tend à corroborer le fait que  $\mathbb{P}(T^{0.5} < \infty) = 1$ .

**Question 4 - a)** Soit  $x \in I_h \cup \{0, 1\}$ , montrons que la v.a.r.,  $a\mathbf{1}_{X_{T^x}=0} + b\mathbf{1}_{X_{T^x}=1}$  est bornée presque partout. En effet, presque partout,  $a\mathbf{1}_{X_{T^x}=0} + b\mathbf{1}_{X_{T^x}=1}$  est bien définie car  $T^x \neq \infty$  p.p., et donc  $[X_{T^x} = 0]$ ,  $[X_{T^x} = 1]$  a un sens p.p. Aussi, en tout  $\omega$  où elle est définie,  $|a\mathbf{1}_{X_{T^x}=0} + b\mathbf{1}_{X_{T^x}=1}| \leq |a| + |b| < +\infty$ .

**Ainsi  $v_h$  est bien définie sur  $I_h \cup \{0, 1\}$ .**

b) Soit  $x \in I_h - \{0, 1\}$ . L'ensemble  $\{[\xi_1 = 1], [\xi_1 = -1]\}$ , forme un système complet d'évènements. Nous avons donc l'égalité :

$$\mathbb{P}(X_{T^x} = 0) = \mathbb{P}([X_{T^x} = 0] \cap [\xi_1 = 1]) + \mathbb{P}([X_{T^x} = 0] \cap [\xi_1 = -1])$$

Intéressons nous à  $\mathbb{P}([X_{T^x} = 0] \cap [\xi_1 = 1])$  :

$$\mathbb{P}([X_{T^x} = 0] \cap [\xi_1 = 1]) = \mathbb{P}\left(\left[\left(\sum_{i=1}^{T^x} \xi_i\right) \cdot h + x = 0\right] \cap [\xi_1 = 1]\right) = \mathbb{P}\left(\left[\left(\sum_{i=2}^{T^x} \xi_i\right) \cdot h + (x + h) = 0\right] \cap [\xi_1 = 1]\right)$$

Notons que l'évènement  $[X_{T^x} = 0]$  correspond à l'évènement  $[\exists n \in \mathbb{N}, X_n = (\sum_{i=1}^n \xi_i) \cdot h + x = 0]$ . Ainsi,

$$\mathbb{P}([X_{T^x} = 0] \cap [\xi_1 = 1]) = \mathbb{P}\left(\left[\exists n \in \mathbb{N}, X_n = \left(\sum_{i=2}^n \xi_i\right) \cdot h + (x + h) = 0\right] \cap [\xi_1 = 1]\right)$$

Or les  $(\xi_i)_{i \geq 2}$  sont indépendants de  $\xi_1$ . Donc,  $[\exists n \in \mathbb{N}, (\sum_{i=2}^n \xi_i) \cdot h + (x + h) = 0]$  est indépendant de  $[\xi_1 = 1]$ . Ce qui donne :

$$\mathbb{P}([X_{T^x} = 0] \cap [\xi_1 = 1]) = \mathbb{P}\left(\exists n \in \mathbb{N}, X_n = \left(\sum_{i=2}^n \xi_i\right) \cdot h + (x + h) = 0\right) \mathbb{P}(\xi_1 = 1)$$

Par ailleurs, comme les  $\xi_i$  sont identiquement distribués, on a l'égalité en loi :

$$\left(\sum_{i=2}^n \xi_i\right) \cdot h + (x + h) \stackrel{\mathcal{L}}{=} \left(\sum_{i=1}^{n-1} \xi_i\right) \cdot h + (x + h)$$

Ce qui donne :

$$\begin{aligned} \mathbb{P}([X_{T^x} = 0] \cap [\xi_1 = 1]) &= \mathbb{P}\left(\exists n \in \mathbb{N}, X_n = \left(\sum_{i=1}^{n-1} \xi_i\right) \cdot h + (x + h) = 0\right) \mathbb{P}(\xi_1 = 1) \\ &= \mathbb{P}\left(\exists n \in \mathbb{N}, X_n = \left(\sum_{i=1}^n \xi_i\right) \cdot h + (x + h) = 0\right) \mathbb{P}(\xi_1 = 1) \end{aligned}$$

Donc,

$$\mathbb{P}([X_{T^x} = 0] \cap [\xi_1 = 1]) = \frac{1}{2} \mathbb{P}(X_{T^{x+h}} = 0)$$

**Nous obtenons donc in fine le résultat souhaité :**

$$\forall x \in I_h - \{0, 1\}, \mathbb{P}(X_{T^x} = 0) = \frac{1}{2} \mathbb{P}(X_{T^{x+h}} = 0) + \frac{1}{2} \mathbb{P}(X_{T^{x-h}} = 0)$$

Notons qu'en passant au complémentaire :  $\mathbb{P}(X_{T^x} = 1) = \frac{1}{2} - \frac{1}{2} \mathbb{P}(X_{T^{x+h}} = 0) + \frac{1}{2} - \frac{1}{2} \mathbb{P}(X_{T^{x-h}} = 0)$   
Ce qui donne également :

$$\forall x \in I_h - \{0, 1\}, \mathbb{P}(X_{T^x} = 1) = \frac{1}{2} \mathbb{P}(X_{T^{x+h}} = 1) + \frac{1}{2} \mathbb{P}(X_{T^{x-h}} = 1)$$

c) Par linéarité de l'espérance,  $\forall x \in I_h \cup \{0, 1\}, v_h(x) = a \cdot \mathbb{P}(X_{T^x} = 0) + b \cdot \mathbb{P}(X_{T^x} = 1)$ .

Si  $x = 0$ , alors  $\mathbb{P}(X_{T^x} = 0) = 1$  et  $\mathbb{P}(X_{T^x} = 1) = 0$ , donc  $v_h(0) = a$ . De même, si  $x = 1$ , alors  $v_h(1) = b$ .

Soit  $x \in I_h - \{0, 1\}$ ,

$$\begin{aligned} v_h(x) &= \frac{1}{2} (a \cdot \mathbb{P}(X_{T^{x+h}} = 0) + a \cdot \mathbb{P}(X_{T^{x-h}} = 0) + b \cdot \mathbb{P}(X_{T^{x+h}} = 1) + b \cdot \mathbb{P}(X_{T^{x-h}} = 1)) \\ v_h(x) &= \frac{1}{2} (a \cdot \mathbb{P}(X_{T^{x+h}} = 0) + b \cdot \mathbb{P}(X_{T^{x+h}} = 1) + a \cdot \mathbb{P}(X_{T^{x-h}} = 0) + b \cdot \mathbb{P}(X_{T^{x-h}} = 1)) \end{aligned}$$

C'est-à-dire que :

$$\begin{aligned} v_h(x) &= \frac{1}{2} (v_h(x+h) + v_h(x-h)) \\ \Rightarrow v_h(x-h) - 2v_h(x) + v_h(x+h) &= 0 \end{aligned}$$

Finalement nous obtenons :

$$\begin{aligned} \forall x \in I_h - \{0, 1\}, \Delta_h v_h(x) &= 0 \\ v_h(0) &= a, v_h(1) = b \end{aligned}$$

Donc  $v_h$  est solution de (2) avec  $f := 0$ .

**Question 5 - a)** Nous avons résolu numériquement l'équation (2), avec les paramètres suivants :  $h = 3.10^{-2}$ ,  $N = 1000$ . Les conditions au bord sont  $u(0) = a = 0.5$  et  $u(1) = b = 1$ . La solution approchée obtenue est relativement satisfaisante comme le montre la courbe suivante.

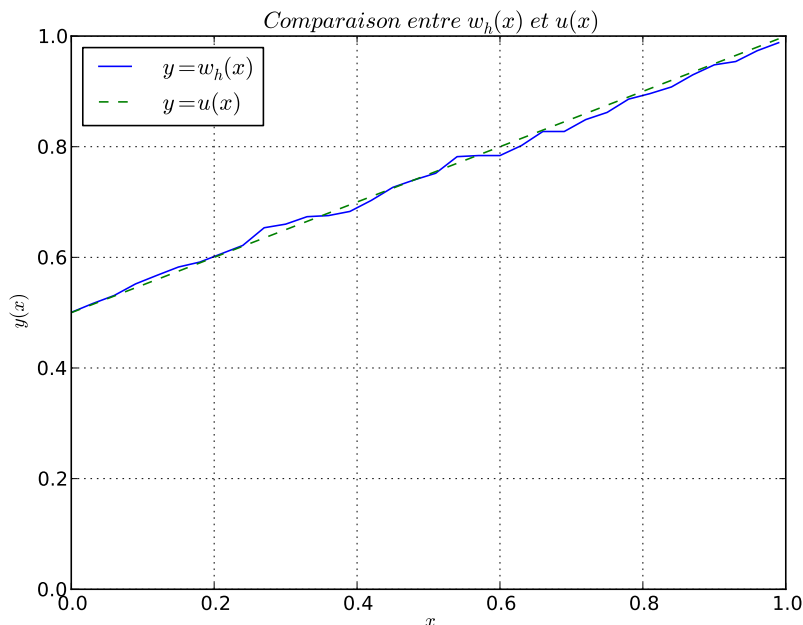


FIGURE 2 – Courbes de la solution approchée  $v_h(x)$  et de la solution exacte  $u(x)$

Sans rentrer dans les détails de programmation, la démarche a consisté à :

1. Discrétiser  $I = [0, 1]$  en  $I_h$ .
2. Pour chaque  $x \in I_h$ , Simuler  $N$  fois le processus  $\{X_1, \dots, X_{T^x}\}$  Noter  $N_{X_{T^x}=1}$  le nombre de résultats où  $X_{T^x} = 1$ . Puis, en vertu de la loi des grands nombres, réaliser l'approximation  $\mathbb{P}(X_{T^x} = 1) \simeq \frac{N_{X_{T^x}=1}}{N}$
3. Puis à calculer  $v_h(x) = a \cdot \mathbb{P}(X_{T^{x+h}} = 0) + b \cdot \mathbb{P}(X_{T^{x+h}} = 1)$  avec l'approximation réalisée précédemment.

b) L'étude qui suit (**Questions 5 - a) & b)**), cherche à optimiser les paramètres de discrétisation  $N$  et  $h$ . Nous nous plaçons à  $x = 0.5$  fixé, et nous choisissons  $N$  suffisamment grand pour que l'approximation de la loi des grands nombres reste valable ( $N = 10000$ ). Nous reportons l'erreur définie comme  $|v_h(x) - u(x)|$ , en fonction du pas de discrétisation  $h$  en échelle log-log.

Au vu des oscillations de cette courbe, il apparaît clairement qu'à  $x$  fixé l'erreur est aléatoire et ne présente pas de tendance évidente à la baisse, d'autant plus qu'une réduction du paramètre  $h$  rallonge de manière notoire les temps de calculs ... Il ne faut toutefois pas conclure qu'une meilleure discrétisation (et donc une réduction du paramètre  $h$ ) est inutile. En effet, en réduisant  $h$ , on vient "lisser" la ligne brisée  $y = v_h(x)$ , ce qui rend l'approximation meilleure à l'échelle globale.

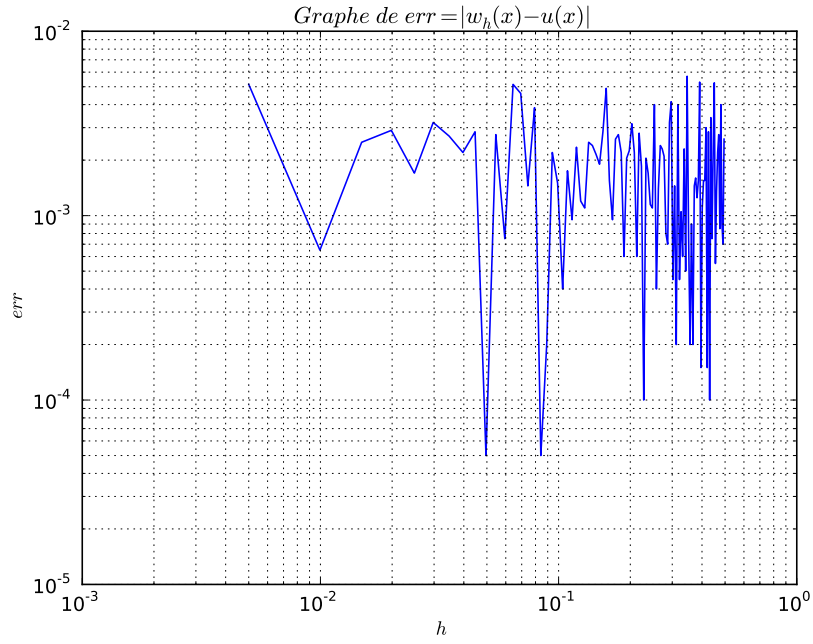


FIGURE 3 – Courbe d'erreur  $|v_h(0.5) - u(0.5)| = f(h)$

c) Toujours à  $x = 0.5$  fixé, nous choisissons  $h$  suffisamment petit (mais pas trop de manière à éviter des temps de calculs trop longs) ( $h = 5 \cdot 10^{-3}$ ). Nous reportons l'erreur en fonction du nombre de trajectoires simulées  $N$  en échelle log-log.

Là encore l'erreur est aléatoire, mais elle présente clairement une tendance à la baisse avec le paramètre  $N$ . Cela est très satisfaisant, d'autant plus qu'on observe empiriquement qu'une augmentation de  $N$  n'augmente pas aussi drastiquement les temps de calculs qu'une diminution de  $h$ .

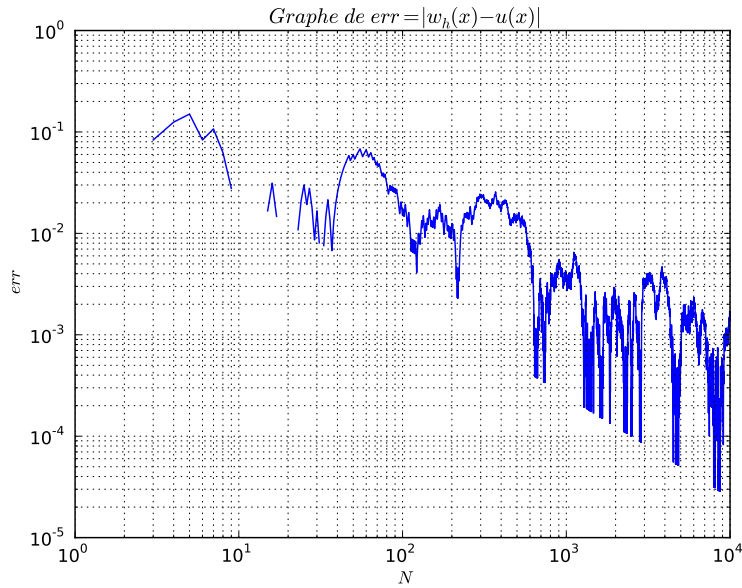


FIGURE 4 – Courbe d'erreur  $|v_h(0.5) - u(0.5)| = f(N)$

**Question 6** - a)  $f$  est bornée par  $\|f\|_\infty$ . Donc, pour tout  $x \in I_h$ ,

$$\left| \sum_{n=0}^{T^x-1} f(X_n) \right| \leq \sum_{n=0}^{T^x-1} \|f\|_\infty = T^x \|f\|_\infty$$

Par croissance de l'espérance :

$$\mathbb{E} \left[ \left| \sum_{n=0}^{T^x-1} f(X_n) \right| \right] \leq \mathbb{E}(T^x) \|f\|_\infty < \infty$$

Ainsi,  $\sum_{n=0}^{T^x-1} f(X_n)$  est intégrable, donc

$$\forall x \in I_h, w_h(x) \text{ est bien définie.}$$

b) Notons  $Y := \sum_{n=0}^{T^x-1} f(X_n)$ . C'est une variable aléatoire discrète dont on notera  $\Delta_Y$  le support. Soit  $x \in D_h - 0, 1$ , par définition :

$$w_h(x) = -\frac{h^2}{2} \mathbb{E} \left[ \sum_{n=0}^{T^x-1} f(X_n) \right]$$

En conditionnant par rapport aux valeurs prises par  $X_1$  :

$$w_h(x) = -\frac{h^2}{2} \mathbb{E} \left[ \sum_{i=0}^{T^x-1} f(X_n) | X_1 = x+h \right] \mathbb{P}(X_1 = x+h) - \frac{h^2}{2} \mathbb{E} \left[ \sum_{i=0}^{T^x-1} f(X_n) | X_1 = x-h \right] \mathbb{P}(X_1 = x-h)$$

Intéressons nous à  $\mathbb{E} \left[ \sum_{i=0}^{T^x-1} f(X_n) | X_1 = x+h \right]$  :

$$\mathbb{E} \left[ \sum_{i=0}^{T^x-1} f(X_n) | X_1 = x+h \right] = \mathbb{E} \left[ \sum_{i=1}^{T^x-1} f(X_n) + f(x) | X_1 = x+h \right] = f(x) + \mathbb{E} \left[ \sum_{i=1}^{T^x-1} f(X_n) | X_1 = x+h \right]$$

Explicitons le second terme de la somme :

$$\begin{aligned} \mathbb{E} \left[ \sum_{i=1}^{T^x-1} f(X_n) | X_1 = x+h \right] &= \sum_{y \in \Delta_Y} y \cdot \mathbb{P}_{X_1=x+h} \left( \sum_{n=1}^{T^x-1} f(X_n) = y \right) \\ &= \sum_{y \in \Delta_Y} y \cdot \mathbb{P}_{X_1=x+h} \left( \sum_{n=2}^{T^x-1} f(X_n) + f(x+h) = y \right) \end{aligned}$$

Or on a l'égalité des événements suivants :

$$\begin{aligned} \left[ \sum_{n=2}^{T^x-1} f(X_n) + f(x+h) = y \right] &= \left[ \exists N \in \mathbb{N}, \text{ tq } \sum_{i=2}^N \xi_i \cdot h + (x+h) \in \{0, 1\} \right] \\ &\cap \left[ \sum_{n=2}^N f \left( \sum_{i=2}^n \xi_i \right) + f(x+h) = y \right] \end{aligned}$$

On a vu que les  $\xi_i$  étaient identiquement distribués, ce qui entraîne l'égalité en loi  $(\sum_{i=2}^n \xi_i) \cdot h + (x+h) \stackrel{\mathcal{L}}{=} \left( \sum_{i=1}^{n-1} \xi_i \right) \cdot h + (x+h)$ . Ceci entraîne que :

$$\mathbb{P}_{X_1=x+h} \left( \sum_{n=2}^{T^x-1} f(X_n) + f(x+h) = y \right) = \mathbb{P}_{X_1=x+h} \left( \left[ \exists N \in \mathbb{N}, tq \sum_{i=2}^N \xi_i \cdot h + (x+h) \in [0, 1] \right] \cap \left[ \sum_{n=2}^N f \left( \sum_{i=2}^n \xi_i \right) + f(x+h) = y \right] \right)$$

Or,  $X_1 = x + \xi_1 \cdot h$  est indépendante de  $\sum_{i=2}^n \xi_i$ . Donc :

$$\begin{aligned} & \mathbb{P}_{X_1=x+h} \left( \left[ \exists N \in \mathbb{N}, tq \sum_{i=2}^N \xi_i \cdot h + (x+h) \in [0, 1] \right] \cap \left[ \sum_{n=2}^N f \left( \sum_{i=2}^n \xi_i \right) + f(x+h) = y \right] \right) \\ &= \mathbb{P} \left( \left[ \exists N \in \mathbb{N}, tq \sum_{i=2}^N \xi_i \cdot h + (x+h) \in [0, 1] \right] \cap \left[ \sum_{n=2}^N f \left( \sum_{i=2}^n \xi_i \right) + f(x+h) = y \right] \right) \\ &= \mathbb{P} \left( \left[ \exists N \in \mathbb{N}, tq \sum_{i=1}^{N-1} \xi_i \cdot h + (x+h) \in \{0, 1\} \right] \cap \left[ \sum_{n=2}^N f \left( \sum_{i=1}^{n-1} \xi_i \right) + f(x+h) = y \right] \right) \\ &= \mathbb{P} \left( \left[ \exists N \in \mathbb{N}, tq \sum_{i=1}^{N-1} \xi_i \in \{0, 1\} \right] \cap \left[ \sum_{n=1}^{N-1} f \left( \sum_{i=1}^n \xi_i \right) + f(x+h) = y \right] \right) \\ &= \mathbb{P} \left( \left[ \exists N' \in \mathbb{N}, tq \sum_{i=1}^{N'} \xi_i \in \{0, 1\} \right] \cap \left[ \sum_{n=1}^{N'} f \left( \sum_{i=1}^n \xi_i \right) + f(x+h) = y \right] \right) \\ &= \mathbb{P} \left( \sum_{n=0}^{T^{x+h}-1} f(X_n) = y \right) \end{aligned}$$

Cela donne :

$$\mathbb{E} \left[ \sum_{i=1}^{T^x-1} f(X_n) | X_1 = x+h \right] = \sum_{y \in \Delta_Y} y \cdot \mathbb{P} \left( \sum_{n=0}^{T^{x+h}-1} f(X_n) = y \right) = \mathbb{E} \left[ \sum_{n=0}^{T^{x+h}-1} f(X_n) \right]$$

D'où :

$$\begin{aligned} w_h(x) &= -\frac{h^2}{2} \mathbb{E} \left[ \sum_{i=0}^{T^{x+h}-1} f(X_n) \right] \mathbb{P}(X_1 = x+h) - \frac{h^2}{2} \mathbb{E} \left[ \sum_{i=0}^{T^{x+h}-1} f(X_n) \right] \mathbb{P}(X_1 = x-h) \\ w_h(x) &= -\frac{h^2}{4} \mathbb{E} \left[ \sum_{n=0}^{T^{x+h}-1} f(X_n) \right] - \frac{h^2}{2} f(x) - \frac{h^2}{4} \mathbb{E} \left[ \sum_{n=0}^{T^{x-h}-1} f(X_n) \right] - \frac{h^2}{2} f(x) \\ w_h(x) &= -h^2 f(x) + \frac{1}{2} (w_h(x+h) + w_h(x-h)) \end{aligned}$$

Finalement on obtient :

$$\forall x \in D_h - \{0, 1\}, \Delta_h w_h(x) = \frac{w_h(x+h) - 2w_h(x) + w_h(x-h)}{h^2} = f(x)$$

Et si  $x = 0$  ou  $1$ ,  $T^x = 0$ , et  $\sum_{n=0}^{T^x-1} f(X_n) = \sum_{n=0}^{-1} f(X_n) = 0$ . D'où :

$$\forall x \in \partial D_h = \{0, 1\}, \Delta_h w_h(x) = 0$$

Ainsi  $w_h$  est solution de l'équation de Laplace discrétisée.

**Question 7** - a) Nous avons résolu numériquement l'équation (2), avec les paramètres suivants :  $h = 3.10^{-2}$ ,  $N = 10000$ . Les conditions au bord sont  $u(0) = a = 0$  et  $u(1) = b = 0$ . Le second membre est  $f(x) = \sin(2\pi x)$ . La solution approchée,  $w_h$  rend relativement bien compte de l'allure et des variations de la solution exacte  $u_h$  comme le montre la courbe suivante.

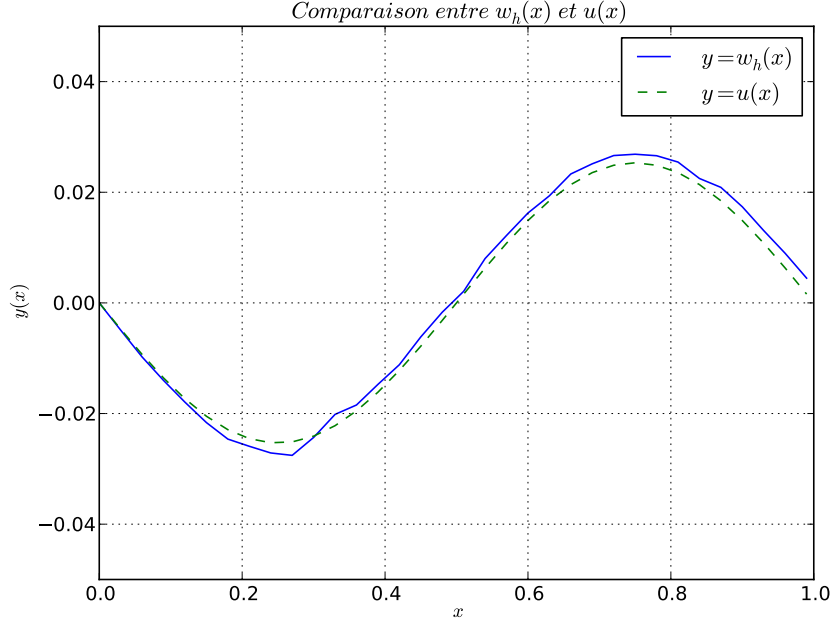


FIGURE 5 – Courbes de la solution approchée  $w_h(x)$  et de la solution exacte  $u(x)$

b) Comme pour la **Question 5**, nous nous plaçons à  $x = 0.5$  fixé, et nous choisissons  $N$  suffisamment grand pour que l'approximation de la loi des grands nombres reste valable ( $N = 10000$ ). Nous reportons l'erreur définie comme  $|w_h(x) - u(x)|$ , en fonction du pas de discrétisation  $h$  en échelle log-log.

La tendance est exactement la même que pour l'équation sans second membre  $\Delta u = 0$  : à  $x$  fixé l'erreur est aléatoire et ne présente pas de tendance évidente à la baisse. On rappelle néanmoins qu'en réduisant  $h$ , on vient "lisser" la ligne brisée  $y = w_h(x)$ , ce qui rend l'approximation meilleure à l'échelle globale.



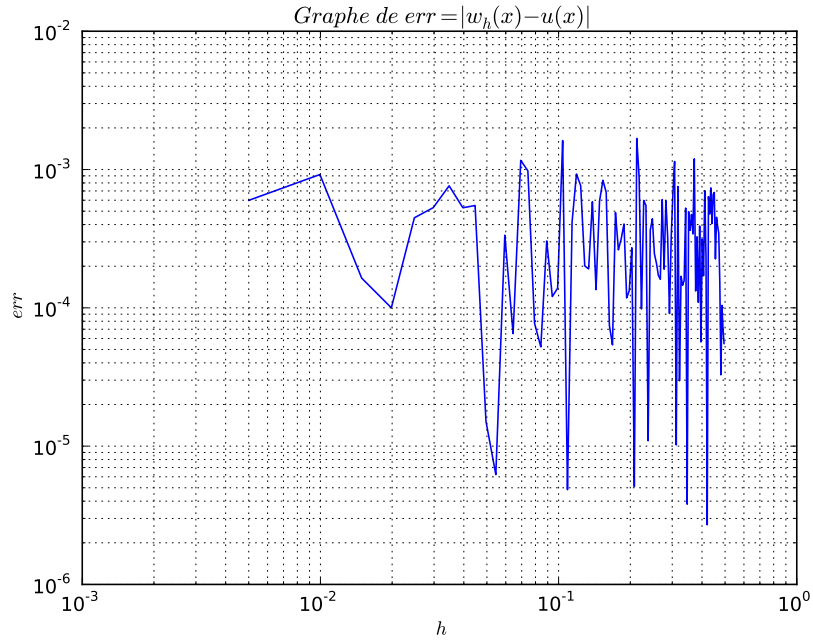


FIGURE 6 – Courbe d'erreur  $|w_h(0.5) - u(0.5)| = f(h)$

c) Toujours à  $x = 0.5$  fixé, nous choisissons  $h$  suffisamment petit ( $h = 5 \cdot 10^{-3}$ ). Nous reportons l'erreur en fonction du nombre de trajectoires simulées  $N$  en échelle log-log.

De manière similaire à la résolution de l'équation sans second membre, l'erreur est aléatoire mais présente clairement une tendance à la baisse avec le paramètre  $N$ .

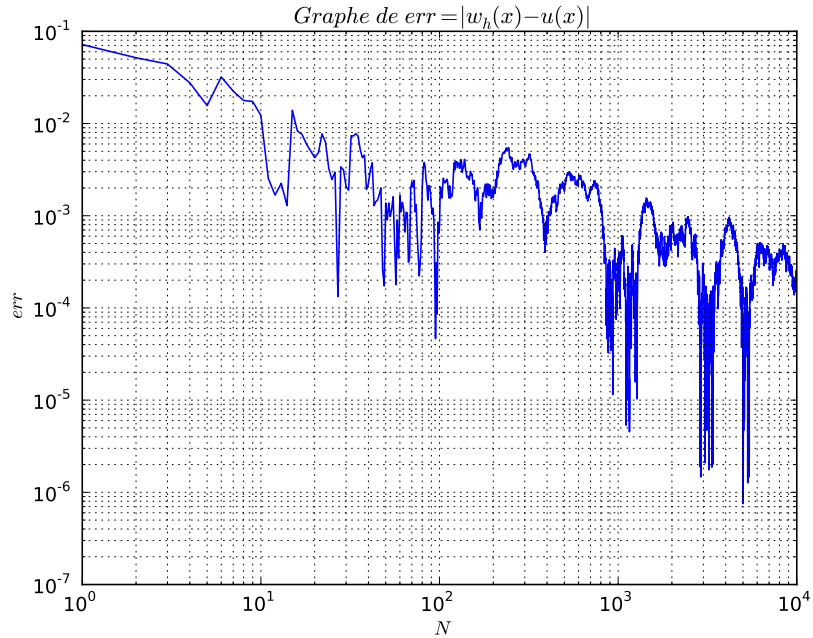


FIGURE 7 – Courbe d'erreur  $|w_h(0.5) - u(0.5)| = f(N)$

Ces résultats sont très satisfaisants. En effet, la résolution de l'équation de Laplace par méthode de Monte-Carlo présente les mêmes caractéristiques de convergence par rapport aux paramètres

$h$  et  $N$ , avec et sans second membre.

**Question 8** - Partant des positions  $x = 0.5$ ,  $x = 0.1$  et  $x = 0.9$ , nous avons simulé  $N = 10.000$  processus de marche aléatoire  $\{X_1, X_2, \dots, X_{T^x}\}$ . Nous avons fait varier le pas de discrétisation  $h$ . Nous avons ensuite tracé  $\mathbb{E}(T^x) = f(h)$  en échelle  $\log - \log$ .

On remarque que dans la limite  $h \rightarrow 0$  (typiquement ici  $h < 10^{-2}$ ),  $\mathbb{E}(T^x) = f(h)$  en échelle  $\log - \log$  a l'allure d'une droite de coefficient directeur  $-2$ . Ce qui traduit le fait que :

$$\mathbb{E}(T^x) \underset{h \rightarrow 0}{\sim} C^{te} h^{-2}$$

Autre fait remarquable,  $\mathbb{E}(T^x)$  est symétrique par rapport à  $x = 0.5$  ce qui se comprend assez bien intuitivement. Partant de la position  $x = x_0 = 0.5 + \alpha$  ( $\alpha \geq 0$ ), il est tout aussi facile de se retrouver en  $x = 1$  (resp. en  $x = 0$ ) que de se retrouver en  $x = 0$  (resp. en  $x = 1$ ) partant de la position  $x = x'_0 = 0.5 - \alpha$ . Cette idée de facilité traduisant le nombre  $T^{x_0}$  de  $\xi_i$  à simuler pour se retrouver à l'une des position  $x = 0$  ou  $x = 1$ .

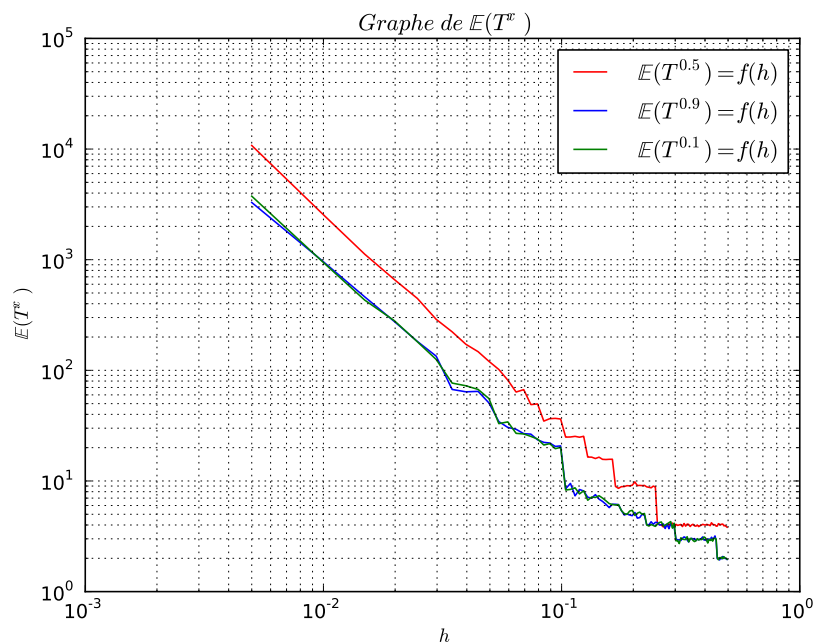


FIGURE 8 – Courbes  $\mathbb{E}(T^x) = f(h)$  pour différentes valeurs de  $x$

**Question 9 - a)** Nous avons

$$\begin{aligned}
\mathbb{E}[T^x|X_1 = x+h] &= \sum_{t \in \mathbb{N}} t \cdot \mathbb{P}(T^x = t|X_1 = x+h) \\
&\stackrel{\mathbb{P}(T^x=\infty)=0}{=} \sum_{t \in \mathbb{N}-\{\infty\}} t \cdot \mathbb{P}\left(\inf\{n \in \mathbb{N} \mid \sum_{i=1}^n \xi_i \cdot h + x \in \{0,1\}\} = t \mid X_1 = x+h\right) \\
&= \sum_{t \in \mathbb{N}-\{\infty\}} t \cdot \mathbb{P}\left(\inf\{n \in \mathbb{N} \mid \sum_{i=1}^{n-1} \xi_{i+1} \cdot h + (x+h) \in \{0,1\}\} = t \mid X_1 = x+h\right) \\
&\stackrel{X_1 \text{ indep. } (\xi_i)_{i>1}}{=} \sum_{t \in \mathbb{N}-\{\infty\}} t \cdot \mathbb{P}\left(\inf\{n \in \mathbb{N} \mid \sum_{i=1}^{n-1} \xi_{i+1} \cdot h + (x+h) \in \{0,1\}\} = t\right) \\
&\stackrel{(\xi_i) \text{ i.i.d.}}{=} \sum_{t \in \mathbb{N}-\{\infty\}} t \cdot \mathbb{P}\left(\inf\{n \in \mathbb{N} \mid \sum_{i=1}^{n-1} \xi_i \cdot h + (x+h) \in \{0,1\}\} = t\right)
\end{aligned}$$

Nous avons besoin du lemme suivant :

Soit  $A$  une partie de  $\mathbb{N}$ . Alors  $\inf\{n \in \mathbb{N} \mid n-1 \in A\} = \inf\{n \in \mathbb{N} \mid n \in A\} + 1$

En effet :

- Si  $\inf\{x \in \mathbb{R} \mid x-1 \in A\} = \infty$ , alors  $\inf\{x \in \mathbb{R} \mid x \in A\} - 1 = \infty - 1 = \infty$ .
- Si  $\inf\{x \in \mathbb{R} \mid x \in A\} = n_0$ , alors  $(n_0 + 1) - 1 \in A$ , et  $\forall n' \in A, n \leq n_0$ . Donc,  $\forall n$  tq  $n' = n-1 \in A, n' = n-1 \leq n_0$ , i.e.  $n \leq n_0 + 1$ . D'où le résultat.

Appliqué à  $A = \{n \in \mathbb{N} \mid \sum_{i=1}^n \xi_i \cdot h + (x+h) \in \{0,1\}\}$ , cela donne :

$$\begin{aligned}
\mathbb{E}[T^x|X_1 = x+h] &= \sum_{t \in \mathbb{N}-\{\infty\}} t \cdot \mathbb{P}\left(\inf\{n \in \mathbb{N} \mid \sum_{i=1}^n \xi_i \cdot h + (x+h) \in \{0,1\}\} + 1 = t\right) \\
&= \sum_{t \in \mathbb{N}-\{\infty\}} t \cdot \mathbb{P}\left(\inf\{n \in \mathbb{N} \mid \sum_{i=1}^n \xi_i \cdot h + (x+h) \in \{0,1\}\} = t-1\right) \\
&= 1 + \sum_{t \in \mathbb{N}-\{\infty\}} (t-1) \cdot \mathbb{P}\left(\inf\{n \in \mathbb{N} \mid \sum_{i=1}^n \xi_i \cdot h + (x+h) \in \{0,1\}\} = t-1\right)
\end{aligned}$$

**Nous avons donc bien prouvé que  $\mathbb{E}[T^x|X_1 = x+h] = 1 + \mathbb{E}[T^{x+h}]$**

b) Déterminons  $\mathbb{E}[T^x]$ , pour  $x \in I_h$  :

$$\begin{aligned}
\mathbb{E}[T^x] &= \frac{1}{2} \mathbb{E}[T^x|X_1 = x+h] + \frac{1}{2} \mathbb{E}[T^x|X_1 = x-h] \\
&= \frac{1}{2} \left(1 + \mathbb{E}[T^{x+h}] + 1 + \mathbb{E}[T^{x-h}]\right) \\
&\Rightarrow \frac{\mathbb{E}[T^{x+h}] - 2\mathbb{E}[T^x] + \mathbb{E}[T^{x-h}]}{h^2} = -\frac{2}{h^2} \Rightarrow \frac{d^2}{dx^2} \mathbb{E}[T^x] \underset{h \rightarrow 0}{\simeq} -\frac{2}{h^2}
\end{aligned}$$

On en déduit l'expression de  $\mathbb{E}[T^x]$  :

$$\mathbb{E}[T^x] = -\frac{2x^2}{h^2} + \alpha \cdot x + \beta$$

Les conditions aux bords  $\mathbb{E}[T^0] = \mathbb{E}[T^1] = 0$  imposent  $\beta = 0$  et  $\alpha = \frac{2}{h^2}$  :

$$\mathbb{E}[T^x] \underset{h \rightarrow 0}{=} \frac{2x(1-x)}{h^2}$$

On retrouve la relation empirique  $\mathbb{E}(T^x) \underset{h \rightarrow 0}{\sim} C_{(x)}^{te} h^{-2}$  de la **Question 8**, les observations de symétrie par rapport à la position  $x = 0.5$ , et le fait que le maximum est atteint en  $x = 0.5$ .

**Question 10 - a)** Déterminons la solution exacte  $u$  du problème :

$$\begin{aligned} \Delta u(x, y) &= 0, \text{ pour } (x, y) \in D \\ u(x, y) &= g(x, y) = \exp(\pi y) \sin(\pi x), \text{ pour } (x, y) \in \partial D \end{aligned}$$

Comme l'équation  $\Delta u(x, y) = 0$  est linéaire, elle admet une unique solution pour un jeu de conditions au bord donné. Il suffit donc de déterminer **une** solution qui répond au problème. Par unicité il s'agira de **la** solution au problème.

Nous remarquons que  $u(x, y) = \exp(\pi y) \sin(\pi x)$ , vérifie clairement les conditions aux limites ainsi que :

$$\Delta u(x, y) = \frac{\partial^2}{\partial x^2}(\sin(\pi x)) \exp(\pi y) + \frac{\partial^2}{\partial y^2}(\exp(\pi y)) \sin(\pi x)$$

$$\Delta u(x, y) = -\pi^2 \sin(\pi x) \exp(\pi y) + \pi^2 \exp(\pi y) \sin(\pi x) = 0$$

**Donc**  $u(x, y) = \exp(\pi y) \sin(\pi x)$  **est la solution au problème.**

b) En nous inspirant de la démarche de la **Question 4**, nous proposons une solution  $u_h(x, y)$ , telle que  $\Delta_h u_h(x, y) = 0$  sur le domaine  $D_h$  et  $u_h(x, y) = g(x, y)$  sur le bord  $\partial D_h$ . Soit

$$\begin{aligned} u_h(x, y) = \mathbb{E} \left[ \sum_{k=0}^{\lfloor 1/h \rfloor} \left( g(k \cdot h, 0) \mathbf{1}_{\{X_{T_{\partial D}^{x,y}} = (kh, 0)\}} + g(k \cdot h, 1) \mathbf{1}_{\{X_{T_{\partial D}^{x,y}} = (kh, 1)\}} \right. \right. \\ \left. \left. + g(0, k \cdot h) \mathbf{1}_{\{X_{T_{\partial D}^{x,y}} = (0, k \cdot h)\}} + g(1, k \cdot h) \mathbf{1}_{\{X_{T_{\partial D}^{x,y}} = (1, k \cdot h)\}} \right) \right] \end{aligned}$$

En développant :

$$\begin{aligned} u_h(x, y) = \sum_k \left( g(k \cdot h, 0) \mathbb{P} \left( X_{T_{\partial D}^{x,y}} = (kh, 0) \right) + g(k \cdot h, 1) \mathbb{P} \left( X_{T_{\partial D}^{x,y}} = (kh, 1) \right) \right. \\ \left. + g(0, k \cdot h) \mathbb{P} \left( X_{T_{\partial D}^{x,y}} = (0, k \cdot h) \right) + g(1, k \cdot h) \mathbb{P} \left( X_{T_{\partial D}^{x,y}} = (1, k \cdot h) \right) \right) \end{aligned}$$

Nous admettrons, eu égard aux **Questions 4 b)** et **6 b)**, que :

$$\begin{aligned} \mathbb{P} \left( X_{T_{\partial D}^{x,y}} = (kh, 0) \right) = \frac{1}{4} \left[ \mathbb{P} \left( X_{T_{\partial D}^{x+h,y}} = (kh, 0) \right) + \mathbb{P} \left( X_{T_{\partial D}^{x-h,y}} = (kh, 0) \right) \right. \\ \left. + \mathbb{P} \left( X_{T_{\partial D}^{x,y+h}} = (kh, 0) \right) + \mathbb{P} \left( X_{T_{\partial D}^{x,y-h}} = (kh, 0) \right) \right] \end{aligned}$$

Ce résultat se prouve en conditionnant par rapport aux événements  $[\eta_1 = \dots]$ . Par ailleurs cela s'applique aux 3 autres probabilités de l'expression de  $u_h(x, y)$ . En regroupant les différents termes de  $u_h(x, y)$  selon  $x \pm h, y \pm h$ , on obtient la relation suivante :

$$4u_h(x, y) = u_h(x + h, y) + u_h(x - h, y) + u_h(x, y + h) + u_h(x, y - h) \\ \Rightarrow u_h(x + h, y) - 2u_h(x, y) + u_h(x - h, y) + u_h(x, y + h) - 2u_h(x, y) + u_h(x, y - h) = 0$$

Donc :

$$\forall (x, y) \in D_h, \Delta_h u_h(x, y) = 0$$

Et par construction,  $u_h(x, y) = g(x, y)$  sur  $\partial D_h$ .

c) Résolution de l'équation par méthode de Monte-Carlo et comparaison à la solution exacte. La résolution de l'équation a été codée en respectant la procédure décrite précédemment. Néanmoins la méthode proposée est très consommatrice en ressource de calculs. Prenons  $h$  fixé, alors pour échantillonner correctement les probas  $\mathbb{P}\left(X_{T_{\partial D}^{x,y-h}} = (kh, 0)\right)$ , il faut choisir  $N \gg 1/h$ , typiquement :  $N \sim 10^3/h$ . Chaque simulation de marche aléatoire nécessite environ  $\mathbb{E}[T^{x,y}]$  itération, or en dimension 1,  $\mathbb{E}[T^{x,y}] \sim h^{-2}$ , on envisage qu'en dimension 2 l'ordre de grandeur est plutôt  $\mathbb{E}[T^{x,y}] \sim h^{-4}$ . On itère le processus sur chaque  $(x, y)$  du domaine  $D_h$ , avec  $\#D_h \sim \frac{1}{h^2}$ .

On en conclut qu'une simulation nécessite de l'ordre de  $\mathcal{O}(10^3 h^{-6})$  calculs.

Néanmoins, en prenant  $h = \frac{1}{20}$  et  $N = 10000$ , on obtient un graphe relativement satisfaisant.

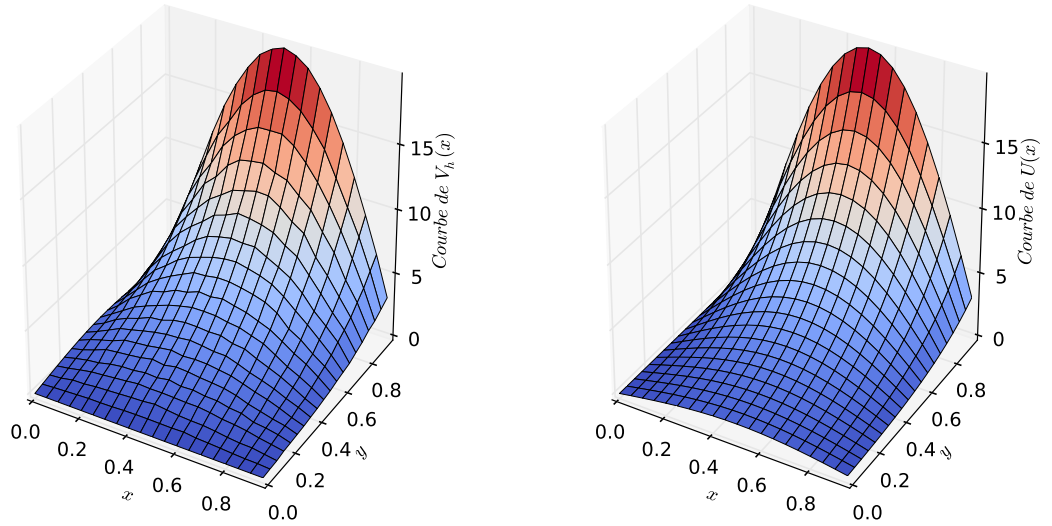


FIGURE 9 – Graphes de la solution approchée  $u_h(x, y)$  (à gauche) et de la solution exacte  $u(x, y)$  (à droite)